



·粒子束及加速器技术·

一种高重频废束桶束窗的设计及热结构分析^{*}

张 浩¹, 黄礼明¹, 赵 峰², 林涵文¹, 常仁超¹, 魏建平¹,
鄂得俊¹, 尉 伟¹, 陶 凯¹, 杨家岳¹, 张未卿¹

(1. 深圳综合粒子设施研究院, 广东 深圳 518107; 2. 中国科学院 大连化学物理研究所, 辽宁 大连 116023)

摘要: 深圳中能高重频 X 射线自由电子激光(S³FEL)将建设成为全球唯一软 X 射线波段的高重频自由电子激光。废束桶是 S³FEL 装置的重要设备, 在系统调束中发挥着重要作用。废束桶束窗是废束桶的重要组成部件, 用于隔离和保护加速器超高真空环境。本文对几种常用的废束桶束窗材料进行了对比分析, 最终选择铍作为束窗的材料, 并依此设计了一种带有水冷结构的束窗。通过蒙特卡罗方法计算得到不同厚度束窗的沉积功率, 采用有限元分析方法对不同厚度的束窗进行热结构计算与分析, 得到厚度为 1.6 mm 的水冷铍窗效果最佳, 其最大温度为 121.6 ℃, 低真空为 1 Pa 时的最大应力与中心变形分别为 198.7 MPa 和 0.00082 mm, 低真空为 101325 Pa 时的最大应力与中心变形分别为 204.2 MPa 和 0.097 mm, 结果均满足使用要求。此研究为 S³FEL 的废束桶束窗设计提供了重要的理论依据。

关键词: 自由电子激光; 高重频; 废束桶; 束窗; 有限元分析

中图分类号: TL503.1

文献标志码: A doi: 10.11884/HPLPB202335.220350

Design and thermal structure analysis of a dump beam window for high repetition frequency

Zhang Hao¹, Huang Liming¹, Zhao Feng², Lin Hanwen¹, Chang Renchao¹, Wei Jianping¹,
E Dejun¹, Wei Wei¹, Tao Kai¹, Yang Jiayue¹, Zhang Weiqing¹

(1. Institute of Advanced Science Facilities, Shenzhen 518107, China;

2. Dalian Institute of Chemical Physics, Chinese Academy of Sciences, Dalian 116023, China)

Abstract: Shenzhen Superconducting Soft X-ray Free Electron Laser (S³FEL) will be the only high repetition frequency free electron laser in soft X-ray band in the world. Dump, playing an important role in system beam tuning, is an important equipment of S³FEL device. As an important component of dump, dump beam window is used to isolate and protect the ultra-high vacuum environment of the accelerator. In this paper, several commonly used materials for dump beam window are compared and analyzed, beryllium is finally chosen as the material. A dump beam window with water-cooled structure is designed using to beryllium. The deposition power of beam window with different thickness is calculated by Monte Carlo method. The thermal-mechanical simulations based on the finite element analysis method show that the water-cooled beryllium window with a thickness of 1.6 mm is the best and meet the application requirements. Its maximum temperature is 121.6 ℃. The maximum stress and central deformation at low vacuum of 1 Pa are 198.7 MPa and 0.00082 mm respectively. The maximum stress and central deformation at low vacuum of 101325 Pa are 204.2 MPa and 0.097 mm respectively. The present study provides a critical theoretical basis for the design of dump beam window in S³FEL.

Key words: free electron laser, high repetition frequency, dump, beam window, finite element analysis

自由电子激光于 1971 年首次提出, 是基于真空中自由电子产生的辐射激光^[1]。目前国内外已研制出多台自由电子激光装置, 包括美国 LCLS、欧洲 XFEL、日本 SACLA、韩国 PAL-XFEL、上海 SXFEL、大连 DCLS 等^[2-7]。深圳

* 收稿日期: 2022-10-20; 修订日期: 2022-11-30

基金项目: 深圳市科技计划资助项目 (JCYJ20220530140807017)

联系方式: 张 浩, zhanghao@mail.iasf.ac.cn。

通信作者: 尉 伟, weiwei@mail.iasf.ac.cn。

中能高重频 X 射线自由电子激光(S³FEL)将采用先进的超导加速器, 提供高重复频率、高亮度、飞秒级超短时间脉冲、高相干性、多用户的软 X 射线光源, 满足国家在重要科学领域的重大需求。废束桶^[8]作为 S³FEL 的重要设备, 在系统调束中发挥着重要作用。废束桶束窗是废束桶的重要组成部分, 用于隔离和保护加速器超高真空环境。系统运行时, 电子束流首先打在束窗上并穿过, 之后进入废束桶的屏蔽体内。在此过程中, 由于束窗的阻拦部分电子束会沉积在束窗上, 引起束窗的温升, 同时引起结构强度的变化, 因此束窗设计需要综合考虑材料、结构和厚度等多方面因素^[9]。

在束窗设计中, 束窗材料要求具有较好的热传导能力、较高的机械强度、较少的能量沉积和较低的放气率, 此外束窗材料还要具备良好的加工和焊接性能^[10-11]。目前, 国内外光源项目中用于束窗材料的包括铍、无氧铜、钛合金、铝合金等^[9]。由于电子束会沉积在束窗上引起束窗的温升, 因此, 还要对束窗添加冷却结构。水具有成本低、热力学性能优良、化学性质稳定和冷却系统简单等优点, 成为最常用的冷却介质^[12]。

S³FEL 处于初期研究阶段, 需要进行关键技术的研究。本文主要针对电子束最大功率 15 kW, 最大电子能量 120 MeV, 最大重复频率 1 MHz 的废束桶束窗进行设计, 对几种常用的废束桶束窗材料进行了对比分析, 最终选择铍作为束窗的材料, 并依此设计了一种带有水冷结构的束窗。采用蒙特卡罗软件 FLUKA^[13-15]计算束窗的沉积功率。采用有限元分析软件 Ansys^[16]对束窗进行热结构计算得出温度、应力和变形结果, 分析优化得出最佳的束窗结构, 为后续 S³FEL 的废束桶束窗设计提供重要理论参考。

1 束窗能量分布

根据物理设计要求, 电子束最大功率 15 kW, 最大电子能量 120 MeV, 最大重复频率 1 MHz, 束流在束窗表面呈现二维高斯分布, 束窗中心与高斯分布中心重合, 束流能量分布函数可表示为

$$f(x, y) = \frac{P}{2\pi\sigma_x\sigma_y} e^{-\frac{1}{2}\left(\frac{x^2}{\sigma_x^2} + \frac{y^2}{\sigma_y^2}\right)} \quad (1)$$

式中: P 为束流在束窗上的沉积功率, 单位为 W; σ_x , σ_y 分别为高斯分布的标准差, 根据物理设计均取 0.84 mm; x , y 分别为以束窗中心为原点的二维平面坐标。根据高斯公式可计算得出, 束流的最大能量在束窗中心位置, 离中心越远分布的能量越少, 束流在 3 倍标准差范围内的功率约为束窗沉积功率的 99.5%。

2 束窗材料选择

对于束窗材料的选择, 需要综合考虑材料的热力学性能、机械性能和可加工性。一般要求具有较好的热传导能力、较高的机械强度、较少的能量沉积和较低的放气率, 此外束窗材料还要具备良好的加工和焊接性能。国内外光源建设项目中选用的材料包括: 钛合金(Ti-6Al-4V)、铝合金(A5083)、不锈钢(316L)、无氧高导铜(OFC)和纯铍(Be)等^[9], 其物性参数可通过工程材料数据库网上(<http://www.matweb.com>)查到, 如表 1 所示。

表 1 材料物性参数

Table 1 Material physical parameters

material	density/ (kg·m ⁻³)	elastic modulus/ GPa	Poisson's ratio	yield stress/ MPa	thermal conductivity/ (W·m ⁻¹ ·K ⁻¹)	thermal expansion coefficient/°C ⁻¹
Ti-6Al-4V	4430	113.8	0.360	880	6.7	8.6×10 ⁻⁶
A5083	2660	71.0	0.330	145	117.0	23.0×10 ⁻⁶
316L	7980	193.0	0.300	290	15.0	12.0×10 ⁻⁶
OFHC	8940	115.0	0.343	340	391.0	17.7×10 ⁻⁶
Be	1844	303.0	0.100	240/345	216.0	12.0×10 ⁻⁶

通过表 1 可以看出, 铍在机械强度、导热性能方面具有较高的综合性能。这里铍窗存在两种屈服强度, 硬铍为 345 MPa, 软铍为 240 MPa。由于束窗材料密度越大, 沉积能量就会越大, 因此铍的能量沉积有较大优势^[17]。此外, 铍可通过钎焊的方式同不锈钢或铜进行焊接, 其在温度低于 300 °C 的放气率很低^[18], 电子束透过铍窗沉积的能量较低。综合考虑下, 选用铍作为束窗的材料。

3 束窗结构设计

通过表 1 可得, 铍与不锈钢 316L 的热膨胀系数一致, 而实际加工中材料热膨胀系数不一致可能导致束窗密封

不严，因此束窗采用不锈钢 316L 真空管中钎焊铍窗的设计，同时钎焊铍窗的不锈钢管两侧与法兰焊接形成组件。束窗的结构设计如图 1 所示。铍窗上游为高真空侧，下游为低真空侧（通过波纹管与废束桶连接），在高真空侧真空管内设置凸台，强化铍窗结构，避免铍窗两侧压差导致铍结构破坏。

根据物理设计要求，束窗有效直径为 100 mm，考虑到凸台的设计，因此铍窗直径为 110 mm。此外，凸台外侧设置水冷通道，在真空管竖直方向分别焊接进、出水管（内径 6 mm，外径 8 mm），保证下进上出的水流方式。

4 束窗沉积功率计算

在束流通过束窗的过程中，部分电子束会沉积在束窗上，产生沉积功率，沉积功率可以按如下公式进行计算^[19]

$$q = \frac{n P}{E} \left(\frac{dE_e}{dx} + \frac{dE_n}{dx} \right) \quad (2)$$

式中： q 为束窗沉积能量，单位为 W/mm； E 为电子束能量，单位为 MeV； P 为电子束功率，单位为 W； n 为安全系数； dE_e/dx , dE_n/dx 分别为电子和质子损失的能量，单位为 MeV/mm。因此，束窗的总沉积功率为式(2)中的 q 与束窗厚度的乘积。

电子束透过束窗的沉积功率同样可通过蒙特卡罗粒子输运程序 FLUKA 软件近似计算得出，蒙特卡罗计算是基于反复抽取随机数计算问题结果的方法。根据来流电子束参数，通过 FLUKA 软件对不同厚度（1~3 mm）铍窗的沉积功率进行计算，结果如图 2 所示。

根据图 2 可以得出，随着厚度的增大，电子束在束窗上的沉积功率呈线性趋势随之增大。而沉积功率的增大会导致束窗温度的升高，进而使得结构的热应力不断增大，因此需对束窗模型进行热结构耦合计算并优化。

5 有限元计算与分析

根据上述计算的沉积功率，代入束流能量高斯分布函数中，采用有限元分析软件 Ansys 进行热结构分析，计算其温度、应力与变形。首先对束窗模型进行简化，省去进出水管，保留凸台外侧的水冷通道，结构如图 3 所示。

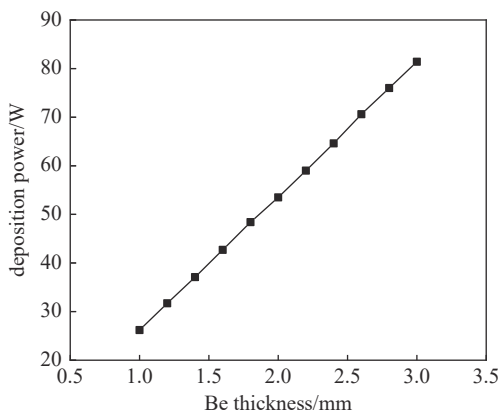


Fig. 2 Deposition power of beryllium window

图 2 铍窗沉积功率

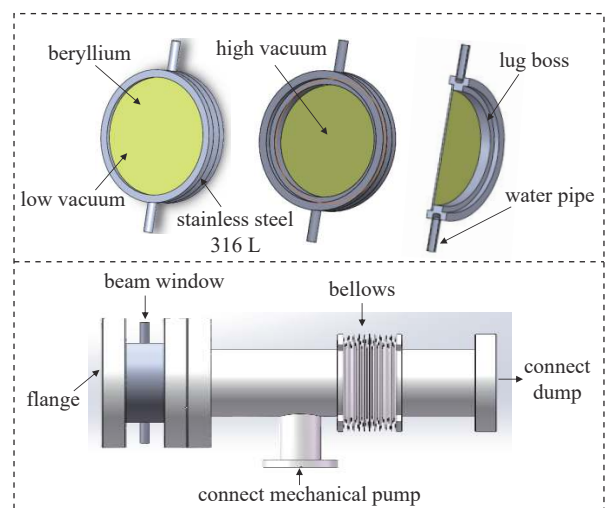


Fig. 1 Model of beam window

图 1 束窗模型

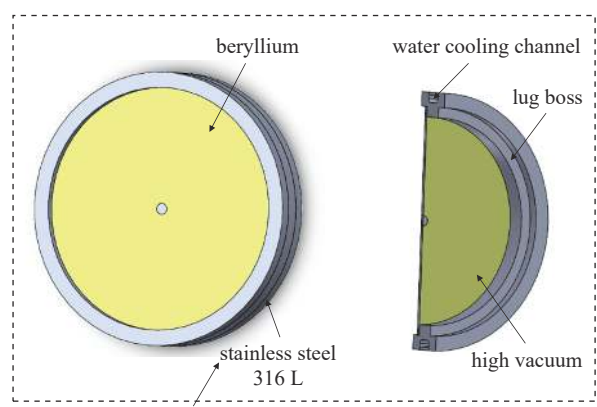


Fig. 3 Simplified model of beryllium window

图 3 束窗简化模型

束窗材料为铍，真空管材料为 316L，其物性参数见表 1。采用自由网格进行划分，根据实际使用情况确定边界条件，空气自然对流换热系数一般为 5~25 W/(m²·K)^[9]，考虑到束窗结构与空气接触较为充分，且距离废束桶存在一定空间，因此真空管外壁设置空气对流换热系数 10 W/(m²·K)。水冷通道壁面设置水冷换热系数，取经验数值 5000 W/(m²·K)^[19]。束窗高真空侧设置高斯热源，通过 Mechanical APDL 将高斯热源公式转化为 APDL 命令并插入 Steady state thermal 模块中计算温度分布。之后将温度计算结果导入 Static Structural 模块进行热结构耦合计算，模

型整体添加重力, 真空管两端采用固定约束, 束窗高真空侧压力为 1×10^{-6} Pa, 低真空侧压力为 1 Pa, 真空管外壁面压力为 101 325 Pa。此外还考虑到束窗低真空侧真空度变差, 极限为 101 325 Pa 的情况, 其他约束相同。厚度 1 mm 镍窗的温度和两种应力计算结果如图 4 所示。

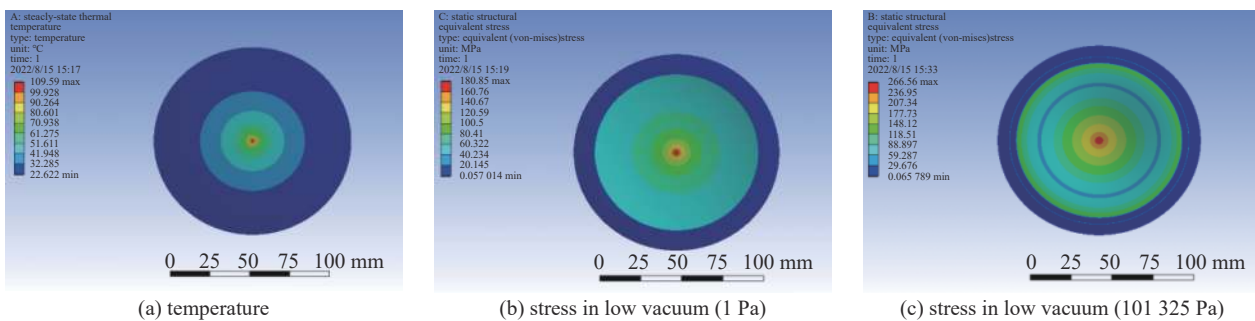


Fig. 4 Temperature and stress of 1 mm beryllium window

图 4 1 mm 镍窗的温度与应力

束窗的厚度除了与温度相关之外, 还与结构强度有直接关系。束窗厚度越大, 结构强度越好, 但镍窗上沉积的能量也越多, 伴随着温度的不断升高, 会产生一定的热应力导致结构强度变差, 这两者是相互矛盾的, 因此需要对束窗厚度进行优化分析。针对不同厚度的镍窗进行计算, 其最大温度、最大应力与中心变形的结果如图 5 所示。

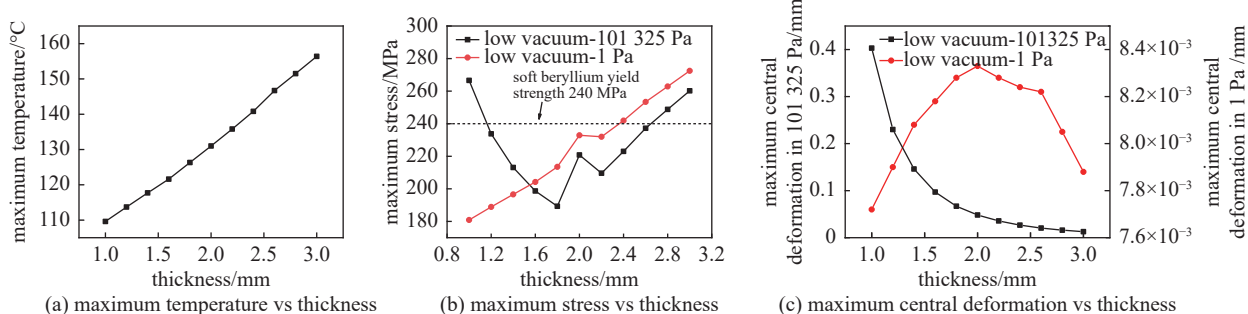


Fig. 5 Maximum temperature, maximum stress and center deformation beryllium window with different thickness

图 5 不同厚度镍窗的最大温度、最大应力和中心变形

由图 5 可以得出, 随着镍窗厚度的不断增大, 在温度变化方面, 电子束通过其产生的沉积功率不断增加, 导致最大温度随之不断增大; 在应力变化方面, 低真空侧为 1 Pa 情况下的最大应力不断增加, 而低真空为 101 325 Pa 情况下的最大应力总体呈现先降低后增大的趋势。这是由于低真空侧为 1 Pa 情况下, 镍窗的应力主要来源于温度的升高, 而低真空为 101 325 Pa 的情况, 镍窗两侧压差同样会对镍窗产生影响, 两者的双重作用使得镍窗应力出现先降后升的趋势; 在中心变形变化方面, 低真空侧为 1 Pa 情况下, 中心变形呈现先升高后降低的趋势, 但变形量很小可忽略不计。低真空侧为 101 325 Pa 情况下, 中心变形不断降低, 降低量前期变化明显, 后期趋近平稳。

综合上述最大温度、最大应力和中心变形变化趋势分析, 温度远远低于镍的熔点(1273 ℃), 并且镍的放气率很低, 不会对真空造成太大的影响。中心变形总体来看变形量很小, 尤其在低真空侧为 1 Pa 情况下基本忽略不计。重点主要在最大应力方面, 通过上述的计算结果可以得出, 厚度在 1.2~2.2 mm 的区间内, 应力都小于软镍的屈服强度 240 MPa, 但两种情况的应力都要尽可能低于屈服强度, 因此厚度 1.6 mm 的镍窗效果最佳。1.6 mm 镍窗计算结果如图 6 所示, 其最大温度为 121.6 ℃, 低真空侧为 1 Pa 情况下最大应力为 198.7 MPa, 中心变形为 0.0082 mm; 低真空侧为 101 325 Pa 情况下最大应力为 204.2 MPa, 中心变形为 0.097 mm。

6 结 论

本文设计了一种高重频废束桶束窗, 采用不锈钢 316L 真空管中钎焊镍窗的方式, 镍窗上游为高真空侧, 下游为低真空侧。在高真空侧真空管内设置凸台强化镍窗结构, 凸台外围设置水冷通道增强束窗换热。通过比较不同材料物性参数, 选取最佳束窗材料。采用蒙特卡罗方法获得束窗的沉积能量, 通过有限元分析方法计算不同厚度束窗的温度、应力和变形情况, 分析得出 1.6 mm 镍窗效果最佳, 其最大温度为 121.6 ℃, 低真空侧为 1 Pa 情况下最大应力为 198.7 MPa, 中心变形为 0.0082 mm; 中心低真空侧为 101 325 Pa 情况下最大应力为 204.2 MPa, 中心变形

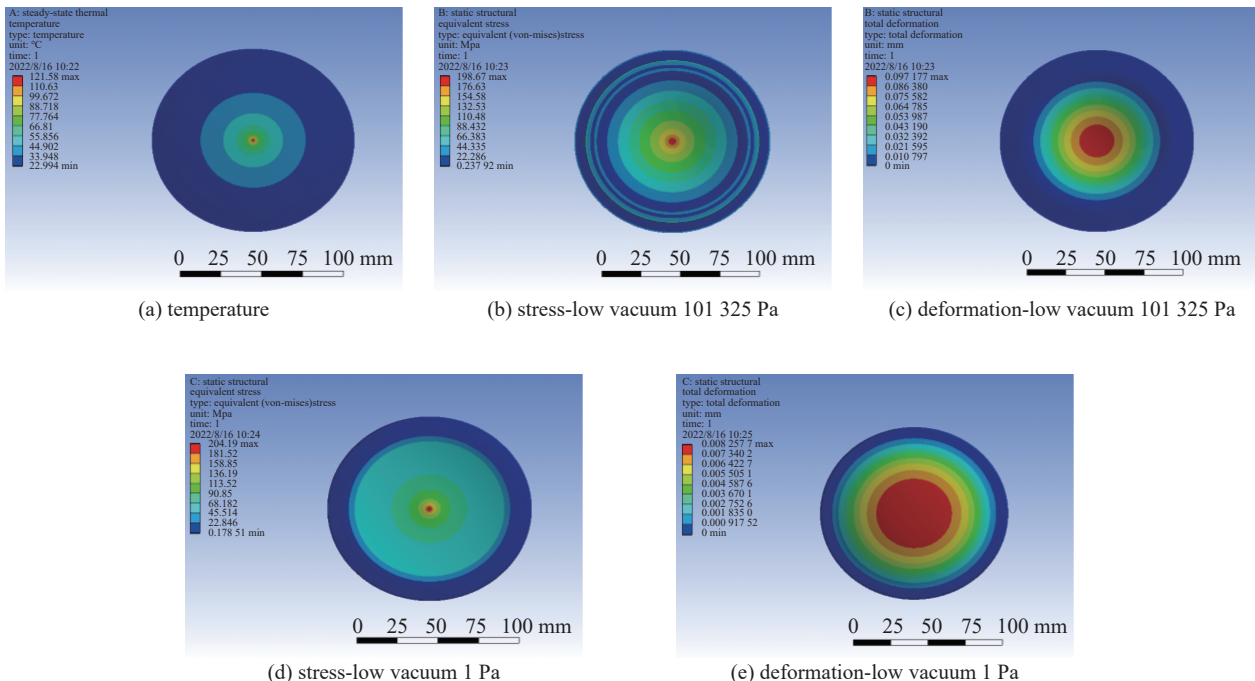


Fig. 6 Temperature, stress and central deformation of 1.6 mm beryllium window

图 6 1.6 mm 镍窗的温度、应力和中心变形

为 0.097 mm, 结果小于材料屈服强度, 验证了束窗结构的安全性。

本文研究为 S³FEL 的废束桶束窗设计提供了理论依据, 后续将分析束斑大小、光束偏移及低真空侧压力对废束桶束窗的影响, 进行废束桶束窗的优化工作。

参考文献:

- [1] Maday J M J. Stimulated emission of bremsstrahlung in a periodic magnetic field[J]. *Journal of Applied Physics*, 1971, 42(5): 1906-1913.
- [2] Herrmann S, Boutet S, Duda B, et al. CSPAD-140k: a versatile detector for LCLS experiments[J]. *Nuclear Instruments and Methods in Physics Research Section A: Accelerators, Spectrometers, Detectors and Associated Equipment*, 2013, 718: 550-553.
- [3] Geloni G, Saldin E, Samoylova L, et al. Coherence properties of the European XFEL[J]. *New Journal of Physics*, 2010, 12: 035021.
- [4] Pile D. X-rays: first light from SACLA[J]. *Nature Photonics*, 2011, 5(8): 456-457.
- [5] Park S H, Yoon J, Kim C, et al. Scientific instruments for soft X-ray photon-in/photon-out spectroscopy on the PAL-XFEL[J]. *Journal of Synchrotron Radiation*, 2019, 26(4): 1031-1036.
- [6] 范伟杰, 冯超, 赵明华. 上海软X射线自由电子激光外种子运行模式的模拟研究[J]. *强激光与粒子束*, 2022, 34: 031016. (Fan Weijie, Feng Chao, Zhao Minghua. Simulation studies of external seeding schemes for Shanghai soft X-ray free electron laser[J]. *High Power Laser and Particle Beams*, 2022, 34: 031016)
- [7] 姜岩秀, 巴音贺希格, 赵旭龙, 等. 自由电子激光器用极紫外波段平面变栅距光栅[J]. *光学精密工程*, 2015, 23(8): 2117-2124. (Jiang Yanxiu, Bayanheshig, Zhao Xulong, et al. Plane holographic varied-line-space grating for DCLS in EUV region[J]. *Optics and Precision Engineering*, 2015, 23(8): 2117-2124)
- [8] 李迪开, 曹磊峰, 池云龙, 等. 95 MeV射频电子直线加速器辐射防护分析[J]. *强激光与粒子束*, 2022, 34: 064008. (Li Dikai, Cao Leifeng, Chi Yunlong, et al. Radiation protection analysis of 95 MeV RF electron linac[J]. *High Power Laser and Particle Beams*, 2022, 34: 064008)
- [9] 聂小军, 刘磊, 康玲, 等. 一种废束站束窗结构设计与优化[J]. *强激光与粒子束*, 2018, 30: 105105. (Nie Xiaojun, Liu Lei, Kang Ling, et al. Structure design and optimization of a dump beam window[J]. *High Power Laser and Particle Beams*, 2018, 30: 105105)
- [10] 马文静, 赵壮, 王思慧, 等. 合肥先进光源前端光子吸收器的设计及热分析[J]. *强激光与粒子束*, 2022, 34: 104007. (Ma Wenjing, Zhao Zhuang, Wang Sihui, et al. Design and thermal analysis of front-end photon absorber at HALF[J]. *High Power Laser and Particle Beams*, 2022, 34: 104007)
- [11] 陈丽萍. 上海光源储存环光子吸收器结构设计与研制[J]. *真空科学与技术学报*, 2009, 29(5): 546-551. (Chen Liping. Photon absorber development for storage ring of Shanghai Synchrotron Radiation Facility[J]. *Chinese Journal of Vacuum Science and Technology*, 2009, 29(5): 546-551)
- [12] 李勇军. 上海光源高热负载前端区的系统设计与研究[D]. 上海: 中国科学院大学(中国科学院上海应用物理研究所), 2016. (Li Yongjun. Design and study of high heat load front-end at SSRF[D]. Shanghai: University of Chinese Academy of Sciences (Shanghai Institute of Applied Physics, Chinese Academy of Sciences), 2016)
- [13] Böhlen T T, Cerutti F, Chin M P W, et al. The FLUKA code: developments and challenges for high energy and medical applications[J]. *Nuclear Data Sheets*, 2014, 120: 211-214.
- [14] Ahidha C, Bozzato D, Calzolari D, et al. New capabilities of the FLUKA multi-purpose code[J]. *Frontiers in Physics*, 2022, 9: 788253.

- [15] Battistoni G, Boehlen T, Cerutti F, et al. Overview of the FLUKA code[J]. *Annals of Nuclear Energy*, 2015, 82: 10-18.
- [16] 张朝晖. ANSYS12.0热分析工程应用实战手册[M]. 北京: 中国铁道出版社, 2010. (Zhang Chaohui. ANSYS12.0 practical handbook for the engineering thermal analysis[M]. Beijing: China Railway Press, 2010)
- [17] 武红利. C-ADS HEBT末段真质子束窗与准直器相关物理问题研究[D]. 合肥: 中国科学技术大学, 2014. (Wu Hongli. Investigation of proton beam window and collimator of high energy proton beam transport line of C-ADS[D]. Hefei: University of Science and Technology of China, 2014)
- [18] 陈旭, 杨新建, 齐京, 等. 金属Be真空出气性能的测试[J]. 真空科学与技术, 2002, 22(6): 459-462. (Chen Xu, Yang Xinjian, Qi Jing, et al. Study of vacuum degassing behavior of beryllium [J]. Vacuum Science and Technology (China), 2002, 22(6): 459-462)
- [19] Wang Haijing, Liu Weibin, Qu Huamin, et al. Thermal analysis and optimization of proton beam window for the CSNS[J]. *Chinese Physics C*, 2013, 37: 077001.